侧向流曝气生物滤池处理城市污水效能研究

黄咏洲、 翟 俊、 何 强、 康岷春

(重庆大学三峡库区生态环境教育部重点实验室, 重庆 400045

摘要:通过试验,研究了新型曝气生物滤池对城市生活污水的处理效果,考察了水力停留时间 (HRT)和温度等的影响。结果表明,曝气生物滤池试验装置在流量为 $2 \sim 72 L/L$ 含氧量为 $2 \sim 4 mg/L$ 、水温为 $10 \sim 25$ 时滤池水中 COD和 SS的去除率为 85%和 95%。

关键词:曝气生物滤池;酶促填料

中图分类号: X703 文献标识码: A 文章编号: 1006 - 7329 (2006) 04 - 0072 - 04

Study on the New Aera ted Bio - filter for MunicipalWastewater Treatment

HUANG Yong - zhou, ZHA I Jun, HE Qiang, KANGMin - chun

(Key Lab of Three Gorges Reservoir Region's Eco - Environment of Ministry of Education, Chongqing University, Chongqing 400045, P. R. China)

Abstract: An experiment was carried out on the use of a new type of aerated bio - filter for the treatment of municipal wastewater. The effect of hydraulic retention time (HRT) and temperature on the performance of BAF was studied. The results show that when the flow is 25. $2 \sim 72 L/h$, the amount of oxygen is $2 \sim 4 mg/L$ and the water temperature $10 \sim 25$, the bio - filter can efficiently reduce the concentration of COD and SS with the removing rate of 85% and 95% respectively.

Keywords: aerated bio - filter; enzymatic medium

侧向流曝气生物滤池是一种新型污水生物处理技术,在生物膜上可形成更为复杂的复合生态系统。在纵向上,微生物构成了一个由细菌、真菌、藻类、原生动物、后生动物等多个营养级组成的复合生态系统;横向上,从液体到填料方向上,构成多级液 - 固接触附着好氧型,附着兼氧型和附着厌氧型的多种不同活动能力,呼吸类型、营养类型的微生物系统。具有运行稳定、抗冲击负荷、更为经济节能、无污泥膨胀、具有较大的单位体积生物量和良好的硝化与反硝化功能[1]。

1 试验装置与方法

1.1 试验装置

模型曝气生物滤池由有机玻璃加工而成。尺寸为 1 600 mm ×600 mm ×1 500 mm。

1. 2 试验方法

原水来自于重庆大学 B 区学生宿舍的污水,其 COD为 250 mg/L 左右 (夏季)、500 mg/L 左右 (冬季); pH值为 $7.4 \sim 7.8$ 。

采用横向进水。污水进水后经过一道穿孔板,相

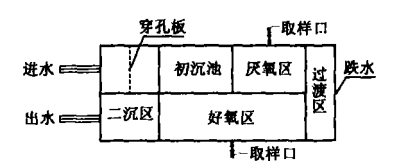


图 1 实验装置示意图

当于实际工程中格栅的作用,用于阻挡一些大颗粒杂质。而后经过初沉池、厌氧滤料区、过渡区,有一个跌水,高度为 20cm,最后进入好氧滤料区、经二沉出水。

厌氧、好氧区均装有新型酶促生物填料,它以黏土为骨料、粉煤灰作掺合料,煤粉为发泡剂并加入适量的微生物生长促进剂经高温烧结而成。该填料表面粗糙度高,有大量微孔可作为微生物生存和繁殖的载体,所含促进剂具有激发微生物生长活性的特点,较陶粒或炉渣有更好的挂膜特性。

滤料装在滤料壳中,其尺寸为 270 mm ×100 mm ×1 000 mm,每个滤料壳相隔 50 mm,与反应器壁相隔 30 mm,水流方向为折向流。厌氧滤料高 60 mm,好氧滤料高 80 mm。反应器总共有四个厌氧滤料壳和七个

^{*} 收稿日期:2006-02-22

基金项目:国家"十五 攻关重大专项课题 (201BA60401)

作者简介:黄咏洲(1977-),男,江苏省江阴市人,硕士,主要从事水污染控制理论与技术研究。

好氧滤料壳。

反应器启动时投加一定量的硝化污泥作为种泥, 闷曝 2 d后改为连续进水,系统运行一星期后,对 COD 的去除率达到 70%,至此标志挂膜基本成功。试验在 常温下进行,分夏季和冬季两个阶段,主要考察水力停 留时间和温度对滤池运行性能的影响。污水在滤池内 的水力停留时间通过进水流量的改变来调节,温度随 季节而变化。

2 结果及分析

表 1 滤池运行试验结果 (一)

		COD				
滤池 HRT	r 流量 / m ³ ·d ⁻¹	进水 / mg·L ⁻¹	厌氧区 出水 / mg · L ^{- 1}	去除率 /%	出水 / mg·L ⁻¹	去除率 /%
夏季 (200)2年 8月 3	0日~200	2年 10月	13日 水流	温 20.6~	25. 6)
12	0. 61	246	192	21. 95%	43	82 52%
10	0. 74	209	154	26. 32%	53	74. 64%
8	0. 92	270	192	28. 89%	52	80. 74%
7	1. 06	264	178	32. 58%	49	81. 44%
6. 5	1. 14	258	189	26. 74%	113	56. 20%
冬季 (200	2年 10月	13日~200	2年 12月	12日 水	温 11.0~	20. 6
12	0. 61	367	253	31. 06%	53	85. 56%
10	0. 74	415	264	36. 39%	59	85. 78%
8	0. 92	509	254	50. 10%	58	88. 60%
7	1. 06	534	236	55. 81%	116	78. 28%

表 2 滤池运行试验结果(二)

				SS		
滤池 HRT		进水 /	厌氧区	去除率	出水 /	去除率
/h	$m^3 \cdot d^{-1}$	r - 1	出水 / mg·L ⁻¹	/%	mg·L ⁻¹	/%
夏季 (200	2年 8月 3	30日~200		13日 水	温 20.6~	25. 6)
12	0. 61	100	62	38. 00%	2	98. 00%
10	0. 74	105	59	43. 81%	1	99. 05%
8	0. 92	135	89	34. 07%	5	96. 30%
7	1. 06	196	135	31. 12%	14	92 86%
冬季 (200	2年 10月	13日~20	02年 12月	12日,水	温 11.0~	20. 6)
12	0. 61	112	60	46. 43%	1	99. 11%
10	0. 74	120	56	55. 33%	3	97. 50%
8	0. 92	168	105	37. 50%	3	98. 21%
7	1. 06	192	102	46. 88%	14	92. 71%

2.1 出水水质

试验中滤池的性能主要根据 COD、SS去除率等指 标来评定。由表 1、表 2可知,污水经滤池处理后 COD 去除率约为 80%左右, SS约为 97%以上,显然滤池对 悬浮物的去除效果远好于有机物的去除效果。

COD的去除率在初期要高,随着不断运行有所下 降,这是由于一方面滤料的吸附能力初期要高于后期; 另一方面生物膜不断成熟使得生物降解能力的提高两 方面共同作用的结果。

SS的去除在整个运行过程都很稳定。

2 2 水力停留时间 (HRT)的影响

在厌氧 好氧污水处理技术中, HRT是一个至关

重要的参数,它的大小直接影响反应器运行效果和反 应器容积的确定^[2]。在处理城市污水时,HRT更是一 个限制因素。实验考察了 HRT对生物滤池反应器处 理效果的影响 (见表 1),以期得到最合适 HRT。

由表 1可知随着 HRT的减少, COD的去除率基本 成下降趋势,但 HRT为 12 h, 10 h的 COD 去除率比 HRT为 8 h的 COD的去除率增加了不到 3% (在同时 出水 COD值小于 60的情况下),而在 HRT为 7 h的状 况下有时会出现出水 COD 值大于 60的情况,在小于 7 h的状况下,反应器的 COD的去除效果也趋于不稳定 状态。由此可见,在 HRT达到一定值后采用较长的 HRT对提高反应器处理效率的贡献不大,但会造成反 应器处理能力的下降。在 HRT小于一定值后水处理 能力会迅速下降。

滤池运行期间,随着 HRT的逐渐减小,出水 SS也 逐渐增大,这是因为进水流速增大,他所能带出的非溶 解性或难溶解性杂质增多,也就导致 SS的增大。此 外,夏季滤池进水 COD和 SS值都较冬季低,这是因为 冬季用水量远小于夏季用水量所致。

试验发现,滤池出水 SS随运行延续时间的增加呈 增加趋势,这一结果可能由两方面因素造成:一是随着 HRT缩短和流量增加,水力负荷有所提高,气体产量 也有所增大,增强了对悬浮污泥的搅动和对生物膜的 冲刷作用,部分污泥被带到反应器上部,逐渐随水流冲 出,但此因素只限于厌氧区,好氧区由于曝气的因素而 使气体的搅动和对生物膜的冲刷作用微不足道,但也 由于 HRT的减少,使得污水与好氧生物滤料的接触反 应作用减少,加上二沉池停留时间减少,导致出水 SS 略有增大;二是随滤池运行时段的延续,大量悬浮物被 截留在填料层底部,且随着悬浮物的增多逐渐沿填料 层上移,使得穿透填料层的悬浮物也逐渐增加。如发 现出水 SS明显增大则表明滤池填料层需进行冲洗。

试验中也同时发现滤池出水 SS一直较稳定,其去 除率也基本在 90%以上,大多数在 97%以上。造成这 一结果的因素是:好氧区的连续曝气,使得原本截留在 填料层上的悬浮物在气体的不断搅动下被水流带出并 在二沉池沉淀,所以随着运行时段的延续而其工况改 变不大。

2 3 温度的影响

温度对所有微生物的影响是多方面的,温度改变, 参与净化的微生物 (主要是细菌)的种属与活性以及 生化反应速率都将随之而变化。与好氧微生物相比, 厌氧微生物对温度更为敏感,对好氧生物膜反应器来 讲,气体转移速率也将随温度的变化而变化。

本实验中,夏季水温比冬季水温高 10 左右,在

冬季温度较低时滤池在 HRT为 7 h时出水 COD有明 显升高,但由于进水 COD 比夏季也有明显的升高,但 去除率并无显著的降低。冬季的微生物活性减小,所 以必须定期投加活性污泥,以保持水中一定量的活性 微生物量,尽量使冬季夏季的工况相差不大。使冬季 温度较低时滤池仍有较好的处理效果。

在冬季温度较低时,在厌氧出水口的 SS值较夏季 时的要高,由 Stocks公式可知,相同大小的悬浮颗粒在 水温下降时,其沉降速度相应减小。因为温度降低,水 的粘滞度增大。但滤池出水 SS无明显升高,这证明好 氧区的生物膜的吸附占有主导作用。

2.4 滤池中 N、P的改变

N和 P是植物营养素,大量的有机物和 N、P排入 水体会使水体环境的污染和营养化日益严重[3]。因 此本实验考察了滤池中这二者的变化情况。以 TP的 去除为主要观察对象。

表 3 滤池运行试验结果(三)

	COD							
滤池 HRT	` 流量 /	进水 /	厌氧区	土陸家	出水 /	 去除率		
/h	$m^3 \cdot d^{-1}$	mg·L ⁻¹	出水 /	去除率 /%	mg·L ⁻¹	女际华 /%		
		mg·L	mg·L ⁻¹	7 70	mg·L	7 70		
夏季 (200	2年 8月 3	80日~200	2年 10月	13日 水	温 20.6~	25. 6)		
12	0. 61	8. 60	4. 40	48. 84%	3. 80	55. 81%		
10	0. 74	7. 09	4. 23	40. 34%	3. 60	49. 22%		
8	0. 92	7. 62	5. 26	30. 97%	4. 25	44. 23%		
7	1. 06	8. 70	5. 83	33. 05%	5. 55	36. 21%		
6. 5	1. 14	7. 25	6. 40	11. 72%	5. 95	17. 93%		
冬季 (200	冬季 (2002年 10月 13日 ~2002年 12月 12日 水温 11.0~20.6)							
12	0. 61	7. 20	4. 30	40. 28%	3. 50	51. 39%		
10	0. 74	7. 35	4. 58	30. 01%	3. 98	45. 85%		
8	0. 92	8. 02	5. 20	35. 16%	4. 05	49. 50%		
7	1. 06	7. 80	4. 62	40. 76%	3. 98	48. 97%		

由表 3可看出 TP的去除率大约在 50%左右, 但 厌氧区出水处的去除率占整个去除效果的 70%以上, 初步估计沉淀作用除 P占有主导作用,当然 P也可通 过进入细菌细胞组织而被去除,其去除量取决于微生 物机体生长对 P的需求和污泥净产量。在此工艺中, 污泥的净产量较低,因此微生物合成所消耗的 P不是 滤池去除的存主要途径。所以系统的厌氧区停留时间 的增加可增加对 TP的去除效果。滤池在冬季 TP的 去除率平均要大于夏季 TP的去除率,一定程度上也 可论证在生物除 P中,其除 P菌是嗜冷细菌,在一定 范围内除 P速度随温度增加而降低 [4~6]。

滤池对 TN的去除率约为 30%左右,其中氨氮的 去除率约为 20%左右。

3 运行与节能

3.1 填料的影响

如图 2是对于 COD的降解在反应器中沿程变化

曲线。其中 HRT为 12 h, 10 h为夏季变化曲线; HRT 为 8 h, 7 h是冬季变化曲线。

由此可见冬季 COD远高于夏季 COD,但最终出水 COD相差不大。在污水经过第一个好氧滤料后, COD 有一个较大的降低。经半年多试验证明,经第一个好 氧滤料壳后 COD的去除率占总去除率的 30%以上。 表明在那里的生物活动非常活跃。镜检观测发现填料 表面几乎完全被生物膜覆盖,填料空隙中也充满了大 量的微生物活性物质。生物膜结构密实,呈黑色絮状, 含有各种球菌、杆菌、丝状菌及菌胶团。

当污水经过第六、七个滤料壳后其去除率只占总 去除率的 10%左右,而此处的 COD 值一般已在 70以 下,特别夏季此处值大都在 60以下。在此处镜检发现 生物膜颜色较淡,菌类有所减少,出现大量轮虫及一些 藻类,表明水质趋于净化,但仍有大量丝状菌,可知丝 状菌形成的网状结构可起着维持生物膜的支架和保护 作用,还提高了生物膜截留生物固体,吸附氧化有机物 的性能。从而加快生物膜的增殖而形成了种类丰富、 层次分明,结构致密的微生态体系。所以我们考虑在 冬季,由于进水 COD 值较高且微生物的活性相对较 低,我们可采用七个滤料壳,在效果不是非常好的情况 下可适量增加:而在夏季我们可只采用六个,可节约成

同时发现在纵向上,底部污水 COD值一般高于上 部污水的 COD值。

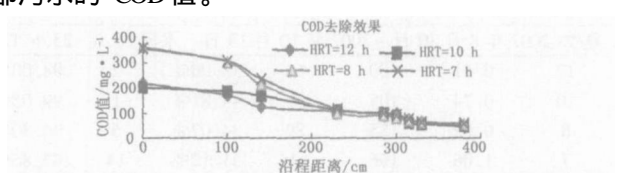


图 2 COD 沿程变化曲线

3.2 溶解氧的影响

反应器内 DO的多少对反应速度及微生物的生长 均有较大的影响。一般以 2~4 mg/L 为宜^[4,6]。

在本试验中,我们为了更加精准定量其需氧量。 分别测试了在好氧量 1.5~2 mg/L、2~2.5 mg/L、2.5 ~3mg/L、3~3.5 mg/L、3.5~4 mg/L 五种工况下的污 水处理效果。当充氧量在 1.5~2 mg/L、2~2.5 mg/L 时,污水处理效果不佳,在 2.5~4 mg/L 时均能取得较 好效果,故建议夏季将含氧量控制在 2 5~3 mg/L之 间,因为含氧量在3 mg/L以上处理效果增加不明显, 显然一定程度上造成了能源上的浪费;冬季由于温度 的降低造成微生物活性降低及水的粘滞度增大导致氧 的传输率降低,故建议将含氧量控制在 3~3.5 mg/L 之间。

4 改进试验装置和方法

4.1 改进后的试验装置

为了取得更好的处理效果,对原装置做了改进。 将滤料壳的尺寸改为 280 mm ×50 mm ×1 000 mm,离 反应器壁距离缩小到 20 mm,其厚度减少一半,增大过 水孔径,由原来的 6 mm增大为 10 mm。其余不 变。相应滤料体积变大。

4.2 实验方法

为了更接近现实,试验地点定在污水厂内,取初沉 池出水作为试验进水。其余不变。

4.3 结果及分析

表 4 滤池运行试验结果(四)

		COD					
滤池 HRT /h	3 4-1	进水 / mg·L ⁻¹	厌氧区 出水 / mg·L	去除率 ₁ /%	出水 / mg·L ⁻¹	去除率 /%	
2003	年 7月 5日	~2003年	10月 1	0日 水温	18. 9 ~ 25.	6	
13. 4	0. 61	276	165	40. 21%	32	88. 41%	
11. 1	0. 74	285	135	52 63%	26	90. 87%	
8. 9	0. 92	257	154	40. 07%	34	86. 77%	
7. 7	1. 06	268	138	48. 51%	40	85. 07%	
7. 5	1. 14	313	192	38. 66%	42	86. 58%	
6. 3	1. 29	330	189	42. 73%	48	85. 45%	
4. 8	1. 73	325	178	45. 23%	52	84. 00%	

对于停留时间为 13. 3、11. 1、8. 9、7. 7几个工况的试验时间较短,主要进行后三个工况的试验。

表 5 滤池运行试验结果(五)

	_			SS		
滤池 HRT /h	2 1	进水 / mg·L ⁻¹	厌氧区 出水 / mg · L ^{- 1}	去除率 /%	出水 / mg·L ⁻¹	去除率 /%
2003 ਤੋਂ	<u> </u>	~2003年	10月 10	日 水温	18. 9 ~ 25.	6
13. 4	0. 61	39. 21	32, 56	16. 96%	15. 68	60. 01%
11. 1	0. 74	38. 52	33. 65	12 64%	16. 32	57. 63%
8. 9	0. 92	40. 25	34. 25	14. 91%	18. 56	53. 89%
7. 7	1. 06	37. 65	30. 56	18. 83%	18. 54	50. 76%
7. 5	1. 14	41. 65	34. 23	17. 81%	19. 56	53. 04%
6. 3	1. 29	42. 23	32. 65	22 69%	20. 35	51. 81%
4. 8	1. 73	38. 71	31. 98	17. 39%	20. 58	46. 84%

4.4 比较

如图 3所示,在同样的进水流量下,在厌氧区出水的处理效率相差不大,但在总出水的处理效率明显改进后的要好些,特别在大流量下,改进前出水不达标而改进后依然达到出水 COD小于 60。改进后的氨氮去除率也达到 50%以上,对 TN的去除比以前有了较大的提高。 SS、TP的去除相差不大。

4.5 分析

改进后的各项处理效率都较以前有了较大的提高 .主要原因如下:

1)滤料壳厚度减小一半,则相对于污水接触体

积、面积增大:

- 2)增大进水孔,使得微生物接触污水的几率增大:使得微生物的生长更胜于改进前。
- 3)由于滤料与污水接触面增大,使得好氧区的曝气更均匀,使得微生物的好氧反应比以前更剧烈。但对 SS的处理影响不大。

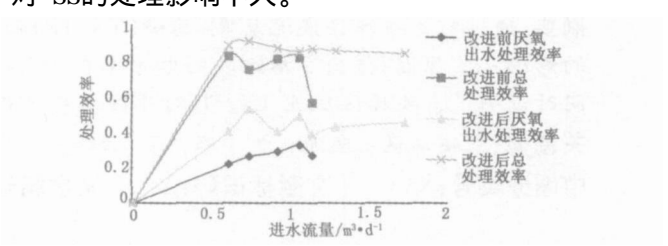


图 3 滤池改进前后 COD 处理效率比较

5 结论

- (A) (1) (26 条件下处理生活污水, COD 去除率可达 80%以上, SS去除率更是高达 95%以上。冬季温度较低时,滤池出水 COD和 SS无较大的变化,仍有很好的处理效果。
- 2) HRT对生物滤池性能有重要影响, COD和 SS 去除率均随 HRT的减少而降低,故不管夏季还是冬季 其 HRT均应控制在 4.5 h以上。
- 3)曝气生物滤池对 TP有较好的去除效果,但以沉淀为主,对氨氮的去除也有一定的去除效果,约50%左右。
- 4)曝气生物滤池在运行期间的 pH值始终保持在7.3~7.8之间,表明系统缓冲性能良好。
- 5)有关曝气生物滤池的硝化反硝化的运行效果 及其影响规律尚需进一步深入,因此如何将如何更好 的脱氮除磷,又能保证出水 COD、SS等的优化研究将 具有更重要的工程意义和应用价值。

参考文献:

- [1] 刘雨,赵庆良,郑兴灿.生物膜法污水处理技术 [M] 北京:中国建筑工业出版社,1999.
- [2] 张自杰,顾夏声.排水工程(下册) [M] 北京:中国建筑工业出版社,2000.
- [3] Pujol R, Hamon M, Kandel X, et al, B iofilters: flexible, reliable biological reactors [J] Wat Sci Tech., 1994, 29 (10 11): 33 38.
- [4] 张军,王宝贞,张立秋,等.复合淹没式膜生物反应器脱氮除磷效能研究[J]中国给水排水,2000(9):9-11.
- [5] 邱立平,马军. 曝气生物的短程硝化反硝化机理研究 [J] 中国给水排水,2002,(18):1-4.
- [6] 许保玖,龙腾锐.当代给水与废水处理原理(第二版) M 1 北京:高等教育出版社,2000.